

УДК 539.171.016:539.171.017:539.171.16:539.141

ИССЛЕДОВАНИЕ РЕАКЦИЙ ВЗАИМОДЕЙСТВИЯ ДЕЙТРОНОВ С ЯДРАМИ ${}^9\text{Be}$ ПРИ НИЗКИХ ЭНЕРГИЯХ

© 2017 г. Б. А. Уразбеков^{1, 2, *}, А. С. Деникин^{1, 2}, С. К. Сахиев³, С. М. Лукьянов²

¹Лаборатория ядерных реакций имени Г.Н. Флерова ОИЯИ, Дубна

²Государственный университет “Дубна”, Дубна

³Институт ядерной физики, Алматы, Казахстан

*E-mail: urazbekovb@mail.ru

Работа посвящена анализу данных по упругому и неупругому рассеянию и реакциям малонуклонных передач при взаимодействии ядер дейтранона и ${}^9\text{Be}$ с энергией порядка 10 МэВ/нуклон. Теоретический анализ выполнен в рамках модели двойного фолдинг-потенциала с использованием волновой функции основного состояния ядра ${}^9\text{Be}$, построенной в трехкластерном $\alpha + \alpha + n$ -приближении. Расчеты сечения упругого рассеяния для реакции $d + {}^9\text{Be}$ с использованием рассчитанного фолдинг-потенциала выполнены в рамках оптической модели. Полученный оптический потенциал применен для анализа сечений реакций передач и неупрятого рассеяния в рамках метода искаженных волн. Выполнен сравнительный анализ экспериментальных данных и теоретических расчетов.

DOI: 10.7868/S0367676517060229

ВВЕДЕНИЕ

Изучение кластерной структуры легких ядер в настоящее время является актуальной задачей в связи с бурным развитием экспериментальных методик исследования ядер, лежащих на границе стабильности, позволяющих проверить имеющиеся теоретические представления об особенностях строения легких экзотических ядер. Хорошо известно, что выбор ядра-снаряда, имеющего простейшую структуру, как, например, ядра d , t , ${}^3\text{He}$, α , позволяет значительно упростить изучение механизмов ядерных реакций и получать непосредственную информацию о структуре ядра-мишени. В этом случае проявление ядром-мишенью ярко выраженной кластерной структуры может приводить к ее существенному влиянию на измеряемые сечения упругого и неупрятого рассеяния, а также ядерных реакций нуклонных и кластерных передач.

Ядро ${}^9\text{Be}$ является уникальным примером ядерной системы, демонстрирующей кластерную структуру, оставаясь при этом стабильной частицей. Имеющиеся в настоящее время теоретические подходы [1] позволяют эффективно описывать свойства трехчастичных систем, таких как ${}^9\text{Be} = \alpha + n + \alpha$ на основе мультиклластерной динамической модели с учетом принципа Паули. Построенная таким образом трехчастичная волновая функция основного состояния может быть, в частности, использована для расчетов фолдинг-потенциалов взаимодействия ядер ${}^9\text{Be}$ с различ-

ными снарядами. Соответствующий анализ реакции взаимодействия ${}^4\text{He}$ с ядрами ${}^9\text{Be}$ был выполнен нами в предыдущей работе [2]. Было показано, что построенная трехчастичная модель ядра ${}^9\text{Be}$ и полученный на ее основе фолдинг-потенциал адекватно описывает наблюдаемые экспериментальные данные для широкого диапазона энергий столкновения и различных реакций.

Настоящая работа является продолжением работы [2] и посвящена анализу данных по упругому и неупрятому рассеянию и реакциям малонуклонных передач при взаимодействии дейтранона с ядрами ${}^9\text{Be}$ с энергией порядка 10 МэВ/нуклон. Цели работы заключаются в описании измеренных экспериментальных данных и сравнении спектроскопической информации с данными, полученными в работе [2] и в работах других авторов [3–7].

Теоретический анализ выполнен в рамках модели двойного фолдинг-потенциала с использованием волновой функции основного состояния ядра ${}^9\text{Be}$, построенной в трехкластерном $\alpha + \alpha + n$ -приближении. Расчеты сечения упругого рассеяния для реакции d (19.5 МэВ) + ${}^9\text{Be}$ выполнены в рамках оптической модели [8]. Полученный оптический потенциал применен для анализа сечений реакций передач и неупрятого рассеяния в рамках модели искаженных волн [8]. Выполнен сравнительный анализ экспериментальных данных и теоретических расчетов.

1. ТЕОРЕТИЧЕСКАЯ МОДЕЛЬ

1.1. Краткое теоретическое введение

Уравнение Шредингера, описывающее волновую функцию $\Phi(\vec{R}, \vec{\xi}, \vec{v})$ двух взаимодействующих ядер $a + A$, представляется в виде

$$\left[-\frac{\hbar^2}{2\mu_a} \nabla_R^2 + \hat{h}_\xi + \hat{h}_v + U(\vec{R}, \vec{\xi}, \vec{v}) \right] \times \Phi(\vec{R}, \vec{\xi}, \vec{v}) = E \Phi(\vec{R}, \vec{\xi}, \vec{v}), \quad (1)$$

где μ_a – приведенная масса, $U(\vec{R}, \vec{\xi}, \vec{v})$ – потенциал ядро-ядерного взаимодействия, $\vec{\xi}, \vec{v}$ – внутренние степени свободы ядер a и A , \hat{h}_ξ и \hat{h}_v – гамильтонианы, описывающие внутренние состояния ядер a и A , \vec{R} – радиус-вектор относительного движения в системе центра масс (с. ц. м.), E – полная энергия системы $a + A$ в с. ц. м. Разложим волновую функцию $\Phi(\vec{R}, \vec{\xi}, \vec{v})$ по базису собственных функций операторов \hat{h}_ξ и \hat{h}_v :

$$\Phi(\vec{R}, \vec{\xi}, \vec{v}) = \sum_{ij} \Psi_{ai}(\vec{\xi}) \Psi_{Aj}(\vec{v}) \chi_{ij}(\vec{R}), \quad (2)$$

где $\chi_{ij}(\vec{R})$ – волновая функция относительного движения ядер в различных каналах реакции, индексы i и j соответствуют всем разрешенным правилами отбора состояниям сталкивающихся ядер. В частности, компонента $\chi_{00}(\vec{R})$ описывает поведение системы в упругом канале. Подстановка разложения (2) в уравнение (1) дает систему связанных дифференциальных уравнений для неизвестных функций $\chi_{ij}(\vec{R})$. В рамках обобщенной оптической модели [9] систему уравнений для $\chi_{ij}(\vec{R})$ удается свести к уравнению для функции $\chi_{00}(\vec{R})$ в упругом канале

$$\left[-\frac{\hbar^2}{2\mu_a} \nabla_R^2 + U_{\text{опт}}(\vec{R}) \right] \chi_{00}(\vec{R}) = (E - \epsilon_v - \epsilon_\xi) \chi_{00}(\vec{R}), \quad (3)$$

где обобщенный оптический потенциал взаимодействия имеет вид

$$U_{\text{опт}} = V_{00} + \sum_{\kappa\kappa'} V_{0\kappa} \left(\frac{1}{E - H + i\eta} \right)_{\kappa\kappa'} V_{\kappa'0} = U_\Phi + \Delta U. \quad (4)$$

Первое слагаемое в (4) принято называть фолдинг-потенциалом (см. ниже). Второе слагаемое ΔU – комплексная функция, зависящая от энергии и называемая поляризационным потенциалом, описывает связь упругого канала с каналами возбуждения. Суммирование выполняется по

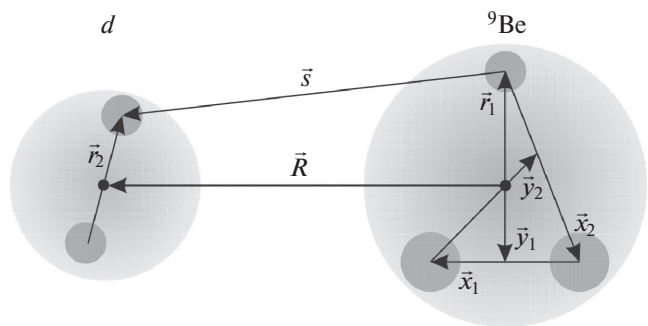


Рис. 1. Схема вычисления $d + {}^9\text{Be}$ фолдинг-потенциала взаимодействия с изображением трехчастичной волновой функции ядра ${}^9\text{Be}$.

всем возбужденным состояниям снаряда и мишени $\kappa = \{i, j\}$, а матричные элементы $V_{\kappa\kappa'}$ равны

$$V_{\kappa\kappa'}(\vec{R}) = \langle \Psi_{ai} \Psi_{Aj} | U(\vec{R}, \vec{\xi}, \vec{v}) | \Psi_{a'i} \Psi_{A'j} \rangle. \quad (5)$$

1.2. Модель двойного фолдинга

Первое слагаемое в (4)

$$V_{00} \equiv \langle \Psi_{a0} \Psi_{A0} | U(\vec{R}, \vec{\xi}, \vec{v}) | \Psi_{a0} \Psi_{A0} \rangle. \quad (6)$$

является вещественной функцией. Метод расчета вещественной части оптического потенциала был предложен в работе [10] и представляет собой “модель двойного фолдинга”. В соответствии с этой моделью фолдинг-потенциал взаимодействия можно получить, усредняя нуклон-нуклонное взаимодействие по объемам ядер снаряда и мишени (см. рис. 1):

$$U_\Phi(\vec{R}) = \int d\vec{r}_1 \int d\vec{r}_2 \rho_1(\vec{r}_1) \rho_2(\vec{r}_2) \times V_{NN}(\vec{s} = \vec{R} + \vec{r}_2 - \vec{r}_1), \quad (7)$$

где V_{NN} – эффективный нуклон-нуклонный потенциал, например, M3Y-типа [11, 12], ρ_i – плотность распределения вещества в основном состоянии ядра i .

1.3. Плотность распределения вещества ядер

Плотность ядерного вещества дейтрана определим, усредняя волновую функцию основного состояния $\Psi(\vec{r})$ по угловым переменным

$$\rho_d\left(\frac{1}{2}\vec{r}\right) = \int |\Psi(\vec{r})|^2 d\Omega_r. \quad (8)$$

Плотность распределения вещества ядра ${}^9\text{Be}$ в данной работе рассчитана с использованием трехчастичной $\alpha + \alpha + n$ -волновой функции [6] и представляется в виде трех слагаемых

$$\rho_{{}^9\text{Be}}(\vec{r}) = 2\rho_\alpha(\vec{r}) + \rho_n(\vec{r}). \quad (9)$$

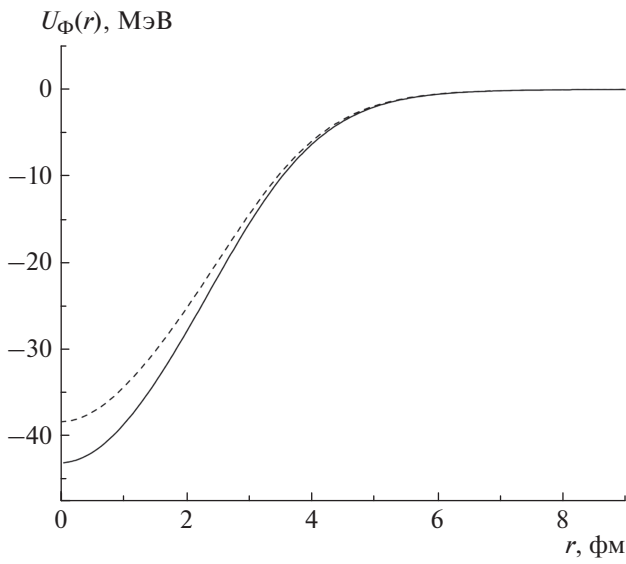


Рис. 2. Ядро-ядерный потенциал взаимодействия системы $d + {}^9\text{Be}$, рассчитанный в рамках двойной фолдинг-модели. Сплошная линия – фолдинг-потенциал на основе M3Y-Paris, прерывистая линия – фолдинг-потенциал на основе M3Y-Reid.

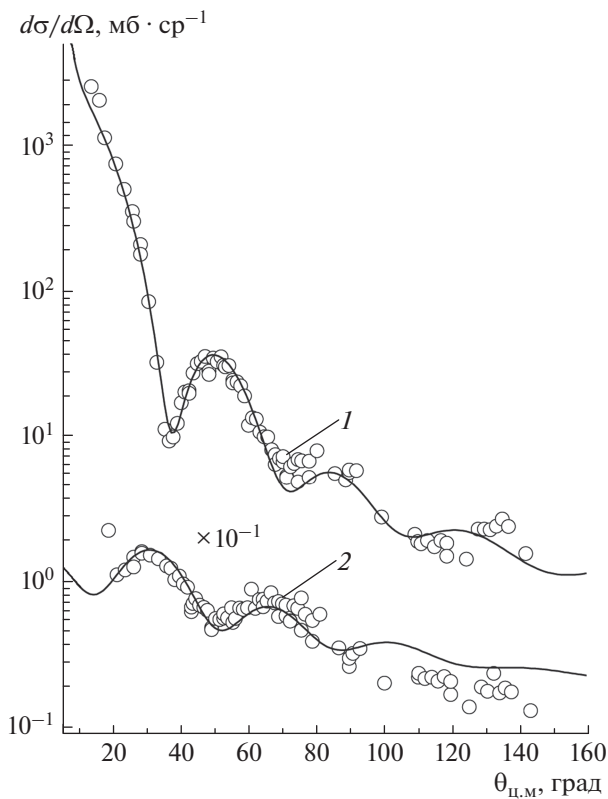


Рис. 3. Дифференциальные сечения рассеяния дейтронов с энергией $E = 19.5$ МэВ, на ядре ${}^9\text{Be}$: кривая 1 – упругое рассеяние, кривая 2 – неупругое рассеяние (${}^9\text{Be}$ образуется в состоянии 2.43 МэВ, $J^\pi = 5/2^-$). Экспериментальные данные – из [16].

При этом предполагается, что нейтрон является точечной частицей, а нуклоны в α -кластерах имеют плотность распределения вещества $\rho_{\alpha,\text{вн}}(r) = 0.4229 \exp(-0.7024r^2)$ [10]. Материальную плотность валентного нейтрона в первом наборе координат Якоби можно представить в виде (см. рис. 1)

$$\rho_n \left(\frac{8}{9} \vec{y}_1 \right) = \int \left| \Psi^{JM_J} (\vec{x}_1, \vec{y}_1) \right|^2 d\vec{x}_1 d\Omega_{y_1}, \quad (10)$$

где учтено, что $\vec{r}_n = \frac{8}{9} \vec{y}_1$. Материальную плотность α -кластера в ядре ${}^9\text{Be}$ удобно рассчитывать в другом наборе координат Якоби, например (\vec{x}_2, \vec{y}_2) :

$$\rho_\alpha(\vec{r}) = \int \rho_{\text{отн}}(\vec{r}) \rho_{\alpha,\text{вн}}(\vec{r} - \vec{R}) d\vec{R}, \quad (11)$$

где \vec{R} – расстояние от центра масс ядра ${}^9\text{Be}$ до центра масс α -кластера. Поскольку $\vec{r}_\alpha = \frac{5}{9} \vec{y}_2$, материальная плотность распределения центра масс α -кластера в этом наборе координат имеет вид

$$\rho_{\text{отн}} \left(\frac{5}{9} \vec{y}_2 \right) = \int \left| \Psi^{JM_J} (\vec{x}_1, \vec{y}_1) \right|^2 d\vec{x}_2 d\Omega_{y_1}. \quad (12)$$

Используя фурье-преобразование, выражение (12) можно переписать в виде

$$\rho_\alpha(r') = \frac{4\pi}{(2\pi)^{3/2}} \int j_0(qr') \rho_{\alpha,\text{вн}}(-q) \rho_{\text{отн}}(q) q^2 dq, \quad (13)$$

где $j_0(qr)$ – сферическая функция Бесселя нулевого порядка.

2. РЕЗУЛЬТАТЫ И ОБСУЖДЕНИЯ

Экспериментальные по угловому распределению упругого рассеянных d (19.5 МэВ) на ${}^9\text{Be}$ были проанализированы в рамках оптической модели с помощью базы знаний NRV [8]. В качестве реальной части оптического потенциала был взят модельный фолдинг-потенциал. На рис. 2 представлена зависимость фолдинг-потенциала взаимодействия, рассчитанная с использованием эффективных нуклон-нуклонных потенциалов M3Y-Reid и M3Y-Paris [11, 12]. Отметим, что глубина вещественной части V_0 найденного оптического потенциала оказалась примерно в 2 раза меньше, чем рекомендуют глобальные параметризации оптических потенциалов (см., например, [13]). Минимая часть оптического потенциала была подобрана минимизацией среднеквадратичного отклонения теоретического углового распределения от экспериментального. Показанные на рис. 3 (кривая 1) результаты показывают хорошее согласие с экспериментальными данными.

Полученные оптические потенциалы были использованы при вычислении дифференциально-

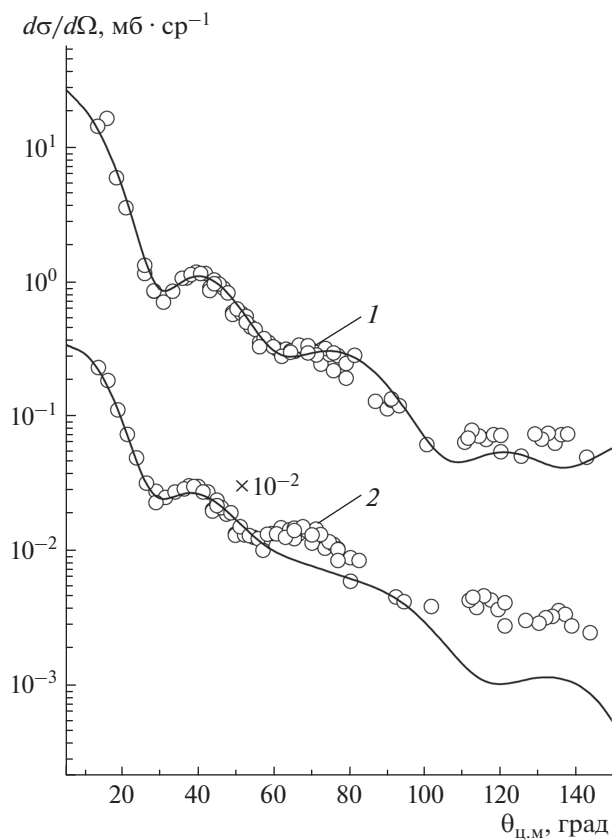


Рис. 4. Угловые распределения реакции передачи ${}^9\text{Be}(d, t){}^8\text{Be}$ для различных энергий возбуждения конечного ядра ${}^8\text{Be}$: кривая 1 – основное состояние $J^\pi = 0^+$, кривая 2 – $E^* = 3.03$ МэВ, $J^\pi = 2^+$. Экспериментальные данные – из [16].

го сечения для неупругого рассеяния в рамках метода сильной связи каналов с помощью NRV [8]. Проведены расчеты сечения возбуждения низко-лежащего состояния $5/2^-$ (2.43 МэВ), принадлежащего ротационной полосе в ядре ${}^9\text{Be}$. Угловое распределение, показанное на рис. 3 (кривая 2), также хорошо согласуется с экспериментальным. Расчеты позволяют оценить величину параметра квадрупольной деформации ядра мишени $\beta_2({}^9\text{Be}) = 0.81$, который находится в согласии с данными из других источников [2–4].

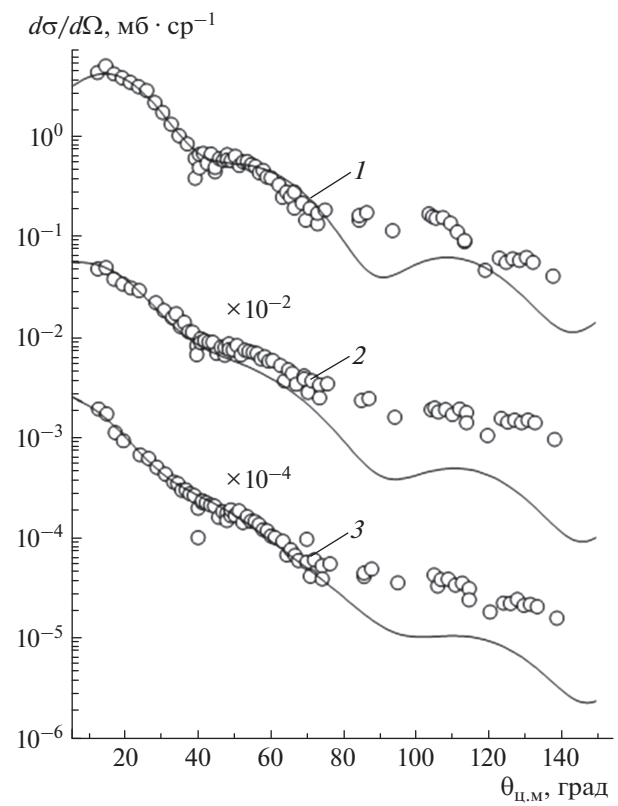


Рис. 5. Угловые распределения реакции передачи ${}^9\text{Be}(d, p){}^{10}\text{Be}$ для различных энергий возбуждения конечного ядра ${}^{10}\text{Be}$: кривая 1 – основное состояние $J^\pi = 0^+$; кривая 2 – $E^* = 3.37$ МэВ, $J^\pi = 2^+$; кривая 3 – $E^* = 5.96$ МэВ, $J^\pi = 2^+$. Экспериментальные данные – из [16].

Теоретические расчеты углового распределения для реакций нуклонных передач ${}^9\text{Be}(d, p){}^{10}\text{Be}$ и ${}^9\text{Be}(d, t){}^8\text{Be}$ проведены в рамках метода искаженных волн с помощью NRV [8]. Параметры оптической модели, использованные в NRV, представлены в табл. 1. Оптические параметры для системы $t + {}^8\text{Be}$ были взяты из [14] с небольшим изменением параметра радиуса мнимой части, а для системы $p + {}^{10}\text{Be}$ – из [15] с некоторой корректировкой параметра диффузности мнимой части потенциала.

Таблица 1. Параметры оптических потенциалов для расчетов в рамках метода искаженных волн и метода связи каналов

| Система | V_0 , МэВ | r_v , фм | a_v , фм | W_0^D , МэВ | r_w , фм | a_w , фм | r_C , фм |
|------------------------|-------------|------------|------------|---------------|------------|------------|------------|
| Фолдинг-потенциал | | | | | | | |
| $d + {}^9\text{Be}$ | | | | 10.89 | 1.3 | 0.88 | 1.3 |
| $t + {}^8\text{Be}$ | 153.9 | 0.6 | 0.7 | 8.6 | 1.17 | 0.8 | 1.2 |
| $p + {}^{10}\text{Be}$ | 40.8 | 1.05 | 0.65 | 9.3 | 1.4 | 0.84 | 1.2 |

Таблица 2. Спектроскопические факторы в сравнении с параметрами из других работ

| Реакция | J^π | E^* , МэВ | S_{ij} | S_{ij} [5] | S_{ij} [6] | S_{ij} [3] | S_{ij} [7] |
|---------------------------------------|---------|-------------|----------|--------------|--------------|--------------|--------------|
| ${}^9\text{Be}(d, p){}^{10}\text{Be}$ | 0^+ | 0.0 | 1.1 | 1.21 | 2.357 | — | — |
| | 2^+ | 3.368 | 0.2 | 0.17 | 0.274 | — | — |
| | 2^+ | 5.958 | 0.5 | 0.54 | 0.421 | — | — |
| ${}^9\text{Be}(d, t){}^8\text{Be}$ | 0^+ | 0.0 | 0.46 | — | — | 0.51 | 0.58 |
| | 2^+ | 3.030 | 0.68 | — | — | 0.75 | 0.73 |

Результаты расчетов дифференциального сечения для реакций ${}^9\text{Be}(d, p){}^{10}\text{Be}$ и ${}^9\text{Be}(d, t){}^8\text{Be}$ с возбуждением низколежащих состояний конечных ядер показаны на рис. 4 и 5 соответственно. Проведенные расчеты позволили определить спектроскопические факторы низколежащих состояний ядер ${}^{10}\text{Be}$ и ${}^8\text{Be}$. Найденные значения, представленные в табл. 2, находятся в хорошем согласии с данными из других работ [2–7].

Отметим, что рассчитанные угловые распределения хорошо согласуются с данными в области малых углов рассеяния. Однако в области больших углов теория заметно недооценивает сечение, что, по всей видимости, обусловлено неучтеными каналами, идущими через образование составного ядра с последующим испарением нуклонов, а также с другими, более сложными, механизмами рассматриваемых реакций.

ЗАКЛЮЧЕНИЕ

В настоящей работе были проведены анализы данных по упругому и неупругому рассеянию и реакциям малонуклонных передач в реакциях взаимодействия дейтрона с ядрами ${}^9\text{Be}$ при энергии столкновения 19.5 МэВ. Выполненные расчеты угловых распределений хорошо согласуются с данными эксперимента. На основе анализа реакций нуклонных передач определены спектроскопические факторы для низколежащих состояний ядер ${}^{10}\text{B}$ и ${}^{10}\text{Be}$. Выявлено расхождение угловых распределений реакций нуклонных передач в области больших углов рассеяния, что, вероятно, связано с механизмом образования испаритель-

ных остатков и более сложными механизмами рассеяния. В результате можно сделать вывод, что рассчитанный на основе фолдинг-потенциала оптический потенциал, учитывающий кластерную структуру ядра ${}^9\text{Be}$, дает адекватное описание экспериментальных данных.

СПИСОК ЛИТЕРАТУРЫ

1. Kukulin V.I. et al. // Nucl. Phys. A 1984. V. 453. P. 128.
2. Уразбеков Б.А., Деникин А.С., Сахиев С.К., Буртебаев Н.Т. // Изв. РАН. Сер. физ. 2016. Т. 80. С. 277.
3. Fitz W., Jahr R., Santo R. // Nucl. Phys. A 1967. V. 101. P. 449.
4. Szczurek A. et al. // Z. Phys. A 1989. V. 333. P. 271.
5. Anderson R.E. et al. // Nucl. Phys. A 1974. V. 236. P. 77.
6. Bockelman C.K., Miller D.W., Adair R.K., Barschall H.H. // Phys. Rev. 1951. V. 84. P. 69.
7. Cohen S., Kurath D. // Nucl. Phys. A 1965. V. 73.
8. Загребаев В.И., Деникин А.С., Карпов А.В. и др. // База знаний по низкоэнергетической ядерной физике NRV // <http://nrv.jinr.ru/nrv/>.
9. Feshbach H. // Ann. Phys. (N.Y.) 1967. V. 19. P. 287.
10. Satchler G.R., Love W.G. // Phys. Rep. 1979. V. 55. P. 183.
11. Bertsch G. et al. // Nucl. Phys. A 1977. V. 284. P. 399.
12. Anantaraman N., Toki H., Bertsch G.F. // Nucl. Rev. A. 1983. V. 298. P. 269.
13. Haixia A., Chonghai C. // Phys. Rev. C. 2006. V. 73. P. 54605.
14. Xiaohua L., Chuntian L., Chonghai C. // Nucl. Phys. A 2007. V. 789. P. 103.
15. Perey F.G. // Phys. Rev. 1963. V. 131. P. 745.
16. Лукьянов С.М. // Приватное сообщение.